

УДК 548; 537, 621

## ОСОБЕННОСТИ ПРИМЕСНЫХ СОСТОЯНИЙ И РЕЗОНАНСНЫХ СВОЙСТВ ФЕРРОМАГНИТНЫХ ПОЛУПРОВОДНИКОВ

*М. Ш. Ерухимов, С. Г. Овчинников*

Теоретически рассмотрены примесные состояния в магнитных полупроводниках, образующиеся суперпозицией коллективизированных зонных и почти локализованных атомоподобных орбиталей. Вычислены угловая и температурная зависимости резонансного поля и энергии активации магнитопроводимости, обусловленные примесями. Найдена также зависимость от температуры энергии магнитной анизотропии. Результаты сопоставляются с экспериментальными данными по CdCr<sub>2</sub>Se<sub>3</sub>, p-типа.

Обычно при описании примесных состояний в магнитных полупроводниках используются две противоположные точки зрения. Согласно одной, примесное состояние есть отщепленный уровень от ближайшей зоны носителей, как и в немагнитных полупроводниках. Назовем такие состояния примесными *c*-состояниями, *c*-зона носителей образована в основном *sp*-состояниями в случае 3d-соединений и *spd*-коллективизированными состояниями в случае редкоземельных соединений. Влияние обменного взаимодействия *c*-состояний с локализованными магнитными моментами (*d*-состояния) на глубину залегания примесных уровней и ее температурную зависимость рассмотрено в работах [1-3].

Согласно второй точки зрения, донорные и акцепторные примеси приводят к иновалентным ионам за счет компенсации валентности. Это означает, что электрон (или дырка) с примеси переходит на локализованные *d*-состояния. Так, например, в легированном CdCr<sub>2</sub>X<sub>4</sub> говорят об ионах Cr<sup>2+</sup> или Cr<sup>4+</sup> [4].

С точки зрения многоэлектронной модели магнитных полупроводников [5], указанные две возможности являются просто предельными случаями: если узкие *d*-зоны лежат высоко над дном широкой *c*-зоны, то примесь будет *c*-состоянием. Наоборот, когда *c*-зона лежит много выше узкой хаббардовской полосы *d*-состояний, то примесь будет *d*-подобной. Между тем для многих магнитных полупроводников, как для двойных соединений РЗМ и 3d-металлов, так и для тройных полупроводников со структурой шпинели, характерна ситуация, когда *c*-зона и *d*-состояния близки по энергиям. В этом случае примесное состояние будет суперпозицией *c*- и *d*-состояний. Расчету таких состояний и будет посвящена первая часть этой работы.

Как будет показано ниже, *c*-электроны примеси переходят с определенной вероятностью на локализованные *d*-орбитали из ближайших координационных сфер. Таким образом, вокруг примеси образуется некий комплекс (клuster) *d*-ионов с нецелочисленной промежуточной валентностью. Во второй части работы анализируется индуцированная примесями магнитная анизотропия легированных ферромагнитных полупроводников. Результаты расчета качественно согласуются с данными по ФМР [6] и по анизотропии магнитопроводимости [7].

1. Примесные состояния  
в многоэлектронной модели  
магнитного полупроводника

Рассмотрим полупроводник с малой концентрацией примесей, такой, чтобы корреляциями между примесями можно было пренебречь. Пусть гамильтониан равен

$$\mathcal{H} = \mathcal{H}_0 + \sum_{\mathbf{f}} p_{\mathbf{f}} V(\mathbf{r} - \mathbf{R}_{\mathbf{f}}), \quad (1)$$

где  $\mathcal{H}_0$  — гамильтониан многоэлектронной модели идеального магнитного полупроводника;  $V(\mathbf{r} - \mathbf{R}_{\mathbf{f}})$  — потенциал возмущения, вносимого примесью в узле решетки  $\mathbf{R}_{\mathbf{f}}$ ;  $p_{\mathbf{f}}=1$  или  $p_{\mathbf{f}}=0$ , если узел занят или не занят примесью.

В многоэлектронной модели [5, 8], кроме широких зон проводимости ( $s$ -зоны) и валентной зоны ( $b$ -зоны), учитываются конфигурации  $d^{n-1}$ ,  $d^n$  и  $d^{n+1}$  магнитных ионов. В качестве возмущения рассматриваются  $s-d$ -обменное взаимодействие и  $s-d$ -гибридизация.

Разложим оператор рождения электрона по базису, включающему  $s$ - и  $d$ -состояния

$$\psi_{\sigma}^{\pm}(\mathbf{r}) = \sum_{\lambda} \varphi_{\mathbf{f}\lambda}^{\pm}(\mathbf{r}) a_{\mathbf{f}\lambda\sigma}^{\pm}, \quad \sigma = \pm 1/2.$$

Здесь  $\lambda=s, d$ ;  $\varphi_{\mathbf{f}\lambda}(\mathbf{r})$  — функции Ванье для зоны  $\lambda$ ;  $a_{\mathbf{f}\lambda}^{\pm}=c_{\mathbf{f}\lambda}^{\pm}$  — обычный фермиевский оператор рождения зонного электрона;  $a_{\mathbf{f}\lambda}^{\pm}=d_{\mathbf{f}}^{\pm}$  — фермиевский оператор рождения  $d$ -электрона. В базисе  $d^2$ ,  $d^3$  и  $d^4$  состояний ионов хрома оператор  $d_{\mathbf{f}}^{\pm}$  описывается линейной комбинацией операторов Хаббарда [8].

Пусть  $s-d$ -обменный интеграл  $J > 0$ . Тогда в ферромагнитной фазе нижайшей является зона со спином  $\sigma=+1/2$  и примесные состояния будут образовываться вблизи дна этой зоны. Поэтому в дальнейшем спиновый индекс опускаем. При  $T=0$  достаточно учитывать низшие термы  $|1\rangle$  и  $|2\rangle$   $d^n$  и  $d^{n+1}$  конфигураций со спинами  $S$  и  $S+1/2$ , отличающимися по энергии на величину  $\Omega=E(d^{n+1})-E(d^n)$ . Тогда  $d_{\mathbf{f}}^{\pm}=X_{\mathbf{f}}^{\pm 1}$ .

В представлении вторичного квантования (1) принимает вид

$$\mathcal{H} = \sum_{\mathbf{k}} [\epsilon_{\mathbf{k}} c_{\mathbf{k}}^{\dagger} c_{\mathbf{k}} + V_{\mathbf{k}} (c_{\mathbf{k}}^{\dagger} X_{\mathbf{k}}^{12} + X_{\mathbf{k}}^{21} c_{\mathbf{k}})] + \sum_{\mathbf{f}} \Omega X_{\mathbf{f}}^{22} + \sum_{\mathbf{f}mn} p_{\mathbf{f}} [U_{\mathbf{f}}^{sc}(\mathbf{m}, \mathbf{n}) c_{\mathbf{m}}^{\dagger} c_{\mathbf{n}} + U_{\mathbf{f}}^{sd}(\mathbf{m}, \mathbf{n}) (c_{\mathbf{m}}^{\dagger} X_{\mathbf{n}}^{12} + X_{\mathbf{n}}^{21} c_{\mathbf{m}}) + U_{\mathbf{f}}^{dd}(\mathbf{m}, \mathbf{n}) X_{\mathbf{n}}^{21} X_{\mathbf{m}}^{12}]. \quad (2)$$

Здесь потенциал возмущения, вносимого примесью, равен

$$U_{\mathbf{f}}^{\lambda\lambda'}(\mathbf{m}, \mathbf{n}) = \int \varphi_{\mathbf{m}\lambda}^*(\mathbf{r}) V(\mathbf{r} - \mathbf{R}_{\mathbf{f}}) \varphi_{\mathbf{n}\lambda'}(\mathbf{r}) d\mathbf{r}, \quad (3)$$

зонная энергия  $\epsilon_{\mathbf{k}}=\epsilon_{\mathbf{k}}^{(0)}-J\langle S^z \rangle/2$ . Будем искать собственные состояния в виде

$$|\psi^+\rangle = \sum_{\mathbf{k}} (u_{\mathbf{k}} c_{\mathbf{k}}^{\dagger} + v_{\mathbf{k}} X_{\mathbf{k}}^{21}) |0\rangle, \quad (4)$$

где  $|0\rangle$  — основное ферромагнитное состояние, когда  $s$ -зона пуста, уровень  $E(d^n)$  заселен полностью, уровень  $E(d^{n+1})$  пуст. Для коэффициентов  $u$ ,  $v$  имеем следующую систему уравнений:

$$\begin{aligned} (\epsilon_{\mathbf{k}} - E) u_{\mathbf{k}} + V_{\mathbf{k}} u_{\mathbf{k}} + \frac{1}{N} \sum_{\mathbf{f}qmn} p_{\mathbf{f}} e^{i(\mathbf{qm}-\mathbf{kn})} [U_{\mathbf{f}}^{sc}(\mathbf{m}, \mathbf{n}) u_{\mathbf{q}} + U_{\mathbf{f}}^{sd}(\mathbf{m}, \mathbf{n}) v_{\mathbf{q}}] &= 0, \\ (\Omega - E) v_{\mathbf{k}} + V_{\mathbf{k}} u_{\mathbf{k}} + \frac{1}{N} \sum_{\mathbf{f}qmn} p_{\mathbf{f}} e^{i(\mathbf{qm}-\mathbf{kn})} [U_{\mathbf{f}}^{sd}(\mathbf{m}, \mathbf{n}) u_{\mathbf{q}} + U_{\mathbf{f}}^{dd}(\mathbf{m}, \mathbf{n}) v_{\mathbf{q}}] &= 0. \end{aligned} \quad (5)$$

Если примесный потенциал локализован в области  $\sim a$ ,  $a$  — параметр решетки, то в двойной сумме по  $\mathbf{m}$  и  $\mathbf{n}$  достаточно учесть только один член  $\mathbf{m}=\mathbf{n}=\mathbf{f}$ , считая, что примесь находится в узле  $\mathbf{R}_f=0$ ; находим из (5)

$$\begin{aligned} (\varepsilon_{\mathbf{k}} - E) u_{\mathbf{k}} + V_{\mathbf{k}} v_{\mathbf{k}} + U^{cc} \frac{1}{N} \sum_{\mathbf{q}} u_{\mathbf{q}} + U^{cd} \frac{1}{N} \sum_{\mathbf{q}} v_{\mathbf{q}} &= 0, \\ (\Omega - E) v_{\mathbf{k}} + V_{\mathbf{k}} u_{\mathbf{k}} + U^{cd} \frac{1}{N} \sum_{\mathbf{q}} u_{\mathbf{q}} + U^{dd} \frac{1}{N} \sum_{\mathbf{q}} v_{\mathbf{q}} &= 0. \end{aligned} \quad (6)$$

Решая систему (6) стандартным образом, находим

$$\begin{aligned} u_{\mathbf{k}} &= [V_{\mathbf{k}} (U^{cd} A + U^{dd} B) + (E - \Omega) (U^{cc} A + U^{cd} B)] / \Delta_{\mathbf{k}}^2, \\ v_{\mathbf{k}} &= [V_{\mathbf{k}} (U^{cc} A + U^{cd} B) + (E - \varepsilon_{\mathbf{k}}) (U^{cd} A + U^{dd} B)] / \Delta_{\mathbf{k}}^2, \end{aligned} \quad (7)$$

где

$$A = \frac{1}{N} \sum_{\mathbf{q}} u_{\mathbf{q}}, \quad B = \frac{1}{N} \sum_{\mathbf{q}} v_{\mathbf{q}}, \quad \Delta_{\mathbf{k}}^2 = (E - \varepsilon_{\mathbf{k}})(E - \Omega) - V_{\mathbf{k}}^2.$$

Дисперсионное уравнение следует из системы уравнений

$$\begin{aligned} \left( \frac{U^{cd}}{N} \sum_{\mathbf{k}} \frac{V_{\mathbf{k}}}{\Delta_{\mathbf{k}}^2} + \frac{U^{cc}}{N} \sum_{\mathbf{k}} \frac{E - \Omega}{\Delta_{\mathbf{k}}^2} - 1 \right) A + \left( \frac{U^{dd}}{N} \sum_{\mathbf{k}} \frac{V_{\mathbf{k}}}{\Delta_{\mathbf{k}}^2} + \frac{U^{cd}}{N} \sum_{\mathbf{k}} \frac{E - \Omega}{\Delta_{\mathbf{k}}^2} \right) B &= 0, \\ \left( \frac{U^{cc}}{N} \sum_{\mathbf{k}} \frac{V_{\mathbf{k}}}{\Delta_{\mathbf{k}}^2} + \frac{U^{cd}}{N} \sum_{\mathbf{k}} \frac{E - \varepsilon_{\mathbf{k}}}{\Delta_{\mathbf{k}}^2} \right) A + \left( \frac{U^{cd}}{N} \sum_{\mathbf{k}} \frac{V_{\mathbf{k}}}{\Delta_{\mathbf{k}}^2} + \frac{U^{dd}}{N} \sum_{\mathbf{k}} \frac{E - \varepsilon_{\mathbf{k}}}{\Delta_{\mathbf{k}}^2} - 1 \right) B &= 0. \end{aligned} \quad (8)$$

Рассмотрим сначала два предельных случая.

а) Дно зоны сформировано только  $c$ -состояниями, уровень  $\Omega \rightarrow \infty$ . Тогда из (8) следует  $B=0$  и  $A \neq 0$  при

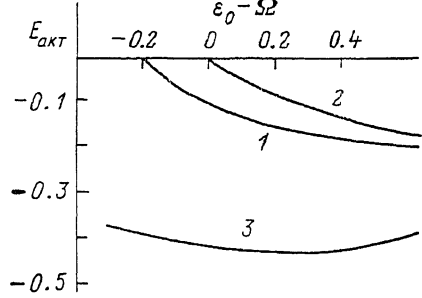
$$\frac{U^{cc}}{N} \sum_{\mathbf{k}} \frac{1}{E - \varepsilon_{\mathbf{k}}} = 1, \quad v_{\mathbf{k}} = 0, \quad u_{\mathbf{k}} = \frac{U^{cc}}{E - \varepsilon_{\mathbf{k}}} A,$$

что совпадает с обычным условием на примесное состояние вблизи дна  $c$ -зоны [9]. Примесное состояние отщепляется при  $U^{cc} < 0$  и  $|U^{cc}| > |U_0^{cc}|$ ,  $U_0^{cc}$  — пороговое значение потенциала. Если глубина залегания примеси  $\delta$ , то волновая функция примесного состояния  $\psi(\mathbf{r}) \sim \exp(-\sqrt{2m}\delta r)/r$ .

б) Дно зоны сформировано  $d$ -состояниями,  $\varepsilon_{\mathbf{k}} \rightarrow \infty$ . Тогда имеем

Рис. 1. Глубина залегания примесного уровня для трёх наборов параметров:  $U^{cc} = U^{cd} = 0$ ,  $U^{dd} = -0.2$  эВ,  $W_c = 3$  эВ (1),  $U^{cc} = U^{cd} = -U^{dd} = -0.2$  эВ,  $W_c = 3$  эВ (2),  $U^{cc} = U^{cd} = -U^{dd} = -0.5$  эВ,  $W_c = 1.5$  эВ (3).

$W_c$  — ширина  $c$ -зоны,  $V_k = 0.2$  эВ.



$A=0$ ,  $B \neq 0$  при  $E=\Omega+U^{dd}$ ,  $u_{\mathbf{k}}=0$ ,  $v_{\mathbf{k}}=U^{dd}B/(E-\Omega)$ . В этом случае примесное состояние локализовано в области  $\sim a$ .

В общем случае отличны от нуля и  $u_{\mathbf{k}}$ , и  $v_{\mathbf{k}}$  — коэффициенты и глубина залегания примеси определяются всеми матричными элементами (3) и взаимным расположением  $c$ - и  $d$ -зон. Волновая функция примесного состояния в этом случае есть суперпозиция  $c$ - и  $d$ -состояний. Это означает, что с определенной вероятностью вокруг примесного центра образуются  $d$ -ионы с промежуточной валентностью.

Положение примесного уровня в зависимости от параметра  $\varepsilon_0 - \Omega$ , где  $\varepsilon_0$  — дно  $c$ -зоны, показано на рис. 1. При  $\varepsilon_0 \gg \Omega$  глубина залегания равна  $|U^{dd}|$ , а волновая функция примесного состояния локализована и

*d*-подобна. С приближением дна зоны к уровню  $\Omega$  глубина залегания уменьшается, коэффициенты  $u$ ,  $v$  в (4) становятся зависящими от квазимпульса. В результате в волновую функцию примесного состояния дают вклад не только *c*-состояния, но и *d*-состояния соседних ионов.

Кривая 3 на рис. 1 относится к случаю, когда  $|U^{cc}| > |U_0^{cc}|$ , поэтому при  $\Omega \gg \epsilon_0$  глубина залегания остается конечной (примесный уровень *c*-типа) в отличие от двух других случаев.

Из рис. 1 следует, что с ростом дна *c*-зоны (например, при нагревании энергия активации примесей растет. Рост энергии активации с увеличением температуры был предсказан ранее [8, 10] за счет флюктуационного механизма, здесь же механизм нефлюктуационный. Различие особенно ярко должно проявиться в сдвиге энергии активации под давлением при  $T \rightarrow 0$ .

Аналогично можно рассмотреть случай примесного потенциала, размазанного на несколько элементарных ячеек.

## 2. Индуцированная примесями магнитная анизотропия

Мы ограничимся ниже халькогенидными хромовыми шпинелями, где ион  $\text{Cr}^{3+}$  находится в состоянии  $^4A_2$  с нулевым орбитальным моментом, поэтому в низших порядках теории возмущений по спин-орбитальному взаимодействию анизотропия отсутствует. Поскольку в этих полупроводниках  $\epsilon_0 \sim \Omega$  [8], то вокруг примесей имеется ненулевая концентрация иновалентных ионов хрома с  $L \neq 0$  и сильной спин-орбитальной связью. Представления об индуцированной анизотропии ионами  $\text{Cr}^{2+}$  использовались при интерпретации данных [4].

Как показали эксперименты [4], угловая зависимость резонансных полей  $H_p$  и ширины линий ФМР не согласуются с результатами расчетов в рамках простых спиновых гамильтонианов. Причиной этого является сближение термов. Действительно, основное и первое возбужденное состояние  $\text{Cr}^{2+}$ , согласно [11, 12], сближаются. Наблюдавшийся экспериментально в случае  $\text{Cr}^{4+}$  противоположный по сравнению с  $\text{Cr}^{2+}$  знак анизотропии и угловая зависимость  $H_p$  до сих пор не имели теоретического объяснения. В настоящем разделе вычисляются угловая и температурная зависимости  $H_p$ .

Согласно многоэлектронной модели  $\text{CdCr}_2\text{Se}_4$  [8] и расчетам зонной структуры халькогенидных хромовых шпинелей [13], *d*-уровень  $\Omega$ , связанный с резонансом  $d^3 \leftrightarrow pd^2$ , расположен в глубине валентной зоны и *pd*-гибридизация дырок на потолке валентной зоны мала. Экспериментально это отражается в высокой подвижности дырок в  $\text{CdCr}_2\text{Se}_4$ ,  $\text{CdCr}_2\text{S}_4$ . Однако в легированных образцах *p*-типа из-за искажения кристаллического поля в окрестности примеси уровень  $\Omega$  смешается к потолку валентной зоны и гибридизация может усиливаться. В результате дырка «размазывается» по всем состояниям в окрестности акцептора, в том числе и по *d*-состояниям. Вокруг акцепторной примеси увеличивается вероятность появления иона  $\text{Cr}^{4+}$ . Экспериментальным подтверждением этой идеологии является наблюдавшееся в  $\text{Cd}_{1-x}\text{Ag}_x\text{Cr}_2\text{Se}_4$  отклонение от закона Блоха в температурной зависимости намагниченности [14], обусловленное иновалентными ионами хрома.

Ион  $\text{Cr}^{4+}$ , у которого в свободном состоянии  $L=3$  и  $S=1$ , в октаэдрическом окружении имеет нижним термом триплет  $^3T_1$ , отделенный энергией  $0.8 \Delta$ ,  $\Delta = 10Dq$  от возбужденного триплета  $^3T_2$  и  $1.8 \Delta$  от синглета  $^3A_1$  [15]. В эффективном молекулярном поле снимается вырождение по спину. Поскольку спин-орбитальное расщепление мало по сравнению с обменным, то мы полагаем, что все магнитные ионы имеют максимальную проекцию  $S^z$ .

Кубическая анизотропия возникает во втором порядке теории возмущений по спин-орбитальному взаимодействию  $\lambda LS$ . Расчет угловой за-

всюимости термов проводится стандартным методом эффективного спино-вого гамильтониана.

Если обозначить  $\alpha_x, \alpha_y, \alpha_z$  — направляющие косинусы внешнего магнитного поля (и магнитного момента при  $T \ll T_c$ ), то угловая зависимость термов определяется из следующего уравнения:

$$x^3 - 2x^2 + 4[\alpha_x^2\alpha_y^2 + \alpha_x^2\alpha_z^2 + \alpha_y^2\alpha_z^2 - \alpha_x^2\alpha_y^2\alpha_z^2] = 0, \quad (9)$$

здесь размерная энергия равна

$$E = \frac{25}{12} \frac{\lambda^2}{\Delta} x \equiv g\mu_B H_A x.$$

Для характерных направлений имеем

- a)  $\langle 100 \rangle: x_1 = x_2 = 0, x_3 = 2,$
  - б)  $\langle 111 \rangle: x_1 = -2/3, x_2 = x_3 = 4/3,$
  - в)  $\langle 110 \rangle: x_1 = (1 - \sqrt{5})/2, x_2 = 1, x_3 = (1 + \sqrt{5})/2.$
- (10)

Из угловой зависимости низших термов  $\text{Cr}^{4+}$  (рис. 2) видно, что в направлении  $\langle 100 \rangle$  имеет место вырождение основного и первого возбужден-

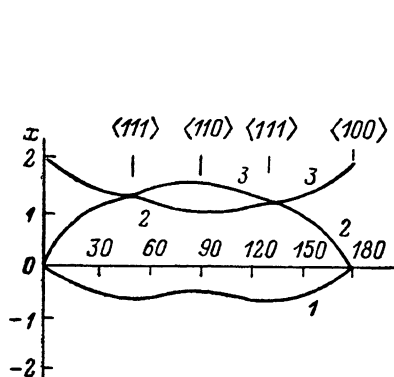


Рис. 2. Угловая зависимость низших термов иона  $\text{Cr}^{4+}$ .

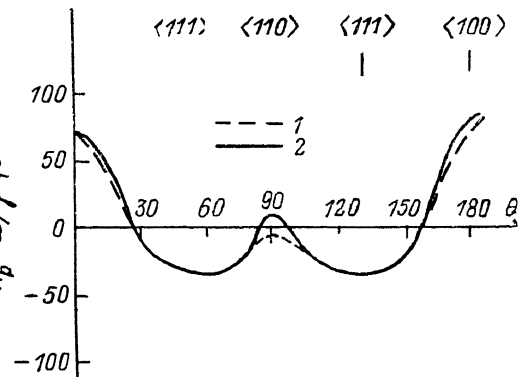


Рис. 3. Угловая зависимость резонансных полей.  
1 — теория, 2 — эксперимент на  $\text{Cd}_{0.988}\text{Ag}_{0.015}\text{Cr}_2\text{Se}_4$  [4]

ного уровней, а в направлении  $\langle 111 \rangle$  вырождение двух возбужденных уровней.

Вклад в свободную энергию, связанный с ионами  $\text{Cr}^{4+}$ , равен (при  $T \ll T_c$ )

$$\delta F = -TN_A \ln [e^{-E_1/T} + e^{-E_2/T} + e^{-E_3/T}]. \quad (11)$$

В области  $g\mu_B H_A \ll T \ll T_c$  можно разложить экспоненты в степен-ной ряд, кубические по  $E/T$  члены дают первый неисчезающий вклад в энергию магнитной анизотропии

$$F_a = -\frac{2}{3} \frac{(g\mu_B H_A)^3}{T^2} N_A [\alpha_x^2\alpha_y^2 + \alpha_x^2\alpha_z^2 + \alpha_y^2\alpha_z^2 - \alpha_x^2\alpha_y^2\alpha_z^2]. \quad (12)$$

Таким образом, константы кубической анизотропии  $K_1$  и  $K_2$  равны по модулю и противоположны по знаку, а их температурная зависимость  $\sim T^2$ . Легким направлением является  $\langle 111 \rangle$ . С понижением  $T$  при  $T \ll g\mu_B H_A$  необходимо учитывать все члены ряда и магнитная анизотропия не описывается двумя первыми константами.

Частоты ФМР находятся стандартным методом [16]. Введем феномено-логически развижку вырожденных уровней  $\delta_0 g\mu_B H_A$ ,  $\delta_0 \ll 1$ , которая

обусловлена различными неучтеными взаимодействиями. При  $T \ll T_c$  получаем ( $\equiv g\mu_B H_A/T$ )

$$\begin{aligned}\omega^{(100)} &= \gamma \left\{ H + 2N_A H_A \frac{e^{-2y} - 2 \operatorname{sh} \delta_0 y / \delta_0}{e^{-2y} + 2 \operatorname{ch} \delta_0 y} \right\}, \\ \omega^{(111)} &= \gamma \left\{ H + \frac{8}{9} N_A H_A \frac{1 + (2/\delta_0) e^{-2y} \operatorname{sh} \delta_0 y}{1 + 2e^{-2y} \operatorname{ch} \delta_0 y} \right\}, \\ \omega^{(110)} &= \gamma \{(H - R)(H + 4R)\}^{1/2}, \quad R = N_A H_A \frac{a_+ e^{-yx_3} - 2e^{-y} + a_- e^{-yx_1}}{e^{-yx_1} + e^{-y} + e^{-yx_3}}, \\ a_{\pm} &= \frac{\sqrt{5} \pm 1}{\sqrt{5}}.\end{aligned}\quad (13)$$

Здесь  $N_A$  — концентрация ионов  $\text{Cr}^{4+}$ , которая определяется как  $N_A = cP$ , где  $c$  — концентрация примесных центров, а  $P$  — вероятность заполнения  $d^2$ -терма. Эта вероятность может быть найдена по результатам раздела 1 (см. (4)), если в последнем перейти к дырочному представлению

$$P \sim \sum_{\mathbf{k}} |v_{\mathbf{k}}|^2.$$

При  $T=0$  резонансные частоты определяются формулами

$$\begin{aligned}\omega^{(100)} &= \gamma(H - 2N_A H_A / \delta_0), \quad \omega^{(111)} = \gamma(H + 8/9 N_A H_A), \\ \omega^{(110)} &= \gamma \left\{ \left[ H - \frac{\sqrt{5} - 1}{\sqrt{5}} N_A H_A \right] \left[ H + \frac{4(\sqrt{5} - 1)}{\sqrt{5}} N_A H_A \right] \right\}^{1/2}.\end{aligned}\quad (14)$$

Угловая зависимость резонансных полей показана на рис. 3, где также приведены экспериментальные данные для  $\text{Cd}_{1-x}\text{Ag}_x\text{Cr}_2\text{Se}_4$  [4], снятые на частоте  $\omega/2\pi=9.1$  ГГц при  $T=4.2$  К. При построении полагалось  $c=0.015$ ,  $P=0.1$ ,  $\lambda=140$  см $^{-1}$ ,  $\Delta \sim 15\ 000$  см $^{-1}$  [8],  $\delta_0 \approx 0.3$ . Видно качественное согласие теории с экспериментом. С ростом  $T$  поле анизотропии уменьшается.

Знание уровней энергии  $\text{Cr}^{4+}$  позволяет определить также анизотропию концентрации носителей тока в валентной зоне. Энергия активации определяется выражением

$$E_a = \Omega - \varepsilon_b = E(\text{Cr}^{3+}) - E(\text{Cr}^{4+}) - \varepsilon_b, \quad (15)$$

где  $\varepsilon_b$  — потолок валентной зоны. Так как  $E(\text{Cr}^{3+})$  от углов не зависит, а  $E(\text{Cr}^{4+})$  зависит, то при изменении направления внешнего поля  $E_a$  меняется. Из-за того что  $E(\text{Cr}^{4+})$  входит в (15) со знаком минус, угловая зависимость  $E_a$  противоположна угловой зависимости резонансных полей: минимум достигается в направлении  $\langle 100 \rangle$ , а максимум —  $\langle 111 \rangle$ . Соответствующая угловая зависимость магнитопроводимости наблюдалась экспериментально [7] в  $\text{CdCr}_2\text{Se}_4 : \text{Ag}$ .

### Л и т е р а т у р а

- [1] Yanase A., Kasuya T. // J. Phys. Soc. Jap. 1968. V. 25. N 4. P. 1025—1042.
- [2] Нагаев Э. Л. // ФТТ. 1969. Т. 11. № 12. С. 3438—3447.
- [3] Ирхин Б. Ю., Кашильсон М. И. // ФТТ. 1984. Т. 26. № 10. С. 3055—3062.
- [4] Гуревич А. Г., Байрамов А. И., Эмирян Л. М. и др. // Магнитные полупроводниковые шинели типа  $\text{CdCr}_2\text{Se}_4$ . Кишинев, 1978. С. 30—42.
- [5] Ерухимов М. Ш., Овчинников С. Г. // ФТТ. 1979. Т. 21. № 2. С. 351—358.
- [6] Байрамов А. И., Гуревич А. Г., Карпович В. И. и др. // ФТТ. 1976. Т. 18. № 3. С. 687—691.
- [7] Бержанский В. Н., Чернов В. К. // Магнитные полупроводники и их свойства. Красноярск, 1980. С. 44—73.
- [8] Гавричков В. А., Ерухимов М. Ш., Овчинников С. Г., Эдельман И. С. // ЖЭТФ. 1986. Т. 90. № 4. С. 1275—1287.
- [9] Либшиц И. М. // УФМ. 1964. Т. 83. № 4. С. 617—663.
- [10] Нагаев Э. Л. Физика магнитных полупроводников. М., 1979. 432 с.

- [11] Hoekstra B., Stapele R. P., Voermans A. B. // Phys. Rev. B. 1972. V. 6. N 7. P. 2762—2769.
- [12] Gurevich A. G., Karpovich V. I., Rubalskaya E. V. et al. // Phys. St. Sol. (b). 1975. V. 69. N 2. P. 731—740.
- [13] Oguchi T., Kambara T., Condaira K. I. // Phys. Rev. B. 1980. V. 22. N 2. P. 872—879; 1981. V. 24. N 6. P. 3441—3444.
- [14] Балаев А. Д., Бержанский В. Н., Вальков В. В. и др. // Письма в ЖЭТФ. 1981. Т. 34. № 5. С. 267—270.
- [15] Ван-Флек Дж. // УФН. 1979. Т. 127. № 1. С. 3—18.
- [16] Ферромагнитный резонанс. Сб. статей. М., 1961. 344 с.

Институт физики им. Л. В. Киренского  
СО АН СССР  
Красноярск

Поступило в Редакцию  
17 июня 1988 г.